

# ЧИСЛЕННЫЕ МОДЕЛИ ДИНАМИКИ БЕЗЫМПУЛЬСНОГО ТУРБУЛЕНТНОГО СЛЕДА В УСТОЙЧИВО СТРАТИФИЦИРОВАННОЙ СРЕДЕ\*

О. Ф. ВОРОПАЕВА

*Институт вычислительных технологий СО РАН, Новосибирск, Россия*  
e-mail: vorop@ict.nsc.ru

A review of the numerical models and results of investigations on the momentumless turbulent wake dynamics in a stably stratified media is presented.

## Введение

Турбулентные следы за телами вращения являются классическим объектом исследования теоретической, вычислительной и прикладной гидродинамики, имеющим весьма важные практические приложения. Следам и другим локальным турбулентным образованиям отводится важная роль в формировании тонкослойной микроструктуры океана, при обтекании тел, в задачах энергетики и экологии. Инструментальные измерения параметров следоподобных образований в неоднородной по плотности (температуре) среде даже в лабораторных условиях представляют собой труднорешаемую задачу. В связи с этим разработка надежных и эффективных численных моделей и исследование на их основе турбулентных течений в следах за телами в устойчиво стратифицированных средах является весьма актуальной проблемой.

Достаточно хорошо известно, что течение в турбулентном следе за телом, движущимся в устойчиво стратифицированной жидкости, обладает рядом особенностей, отличающих его от течения в однородной среде. При сравнительно слабой устойчивой стратификации турбулентный след вначале развивается почти так же, как и в однородной жидкости, и расширяется в плоскости, ортогональной оси движения тела, симметрично. Однако вертикальной турбулентной диффузии препятствуют архимедовы силы, так что след приобретает сплюснутую форму и, наконец, совсем перестает расти в вертикальном направлении. Из-за турбулентного перемешивания плотность жидкости в пределах следа распределена более равномерно, чем вне его. Архимедовы силы стремятся восстановить прежнее невозмущенное состояние устойчивой стратификации, возвращая частицы жидкости на горизонты их равновесного состояния. В результате в плоскости, ортогональной оси движения

---

\*Работа выполнена при частичной финансовой поддержке Российского фонда фундаментальных исследований (гранты № 01-01-00783, № 04-01-00209) и НШ 2314.2003.1 президента РФ.

© Институт вычислительных технологий Сибирского отделения Российской академии наук, 2004.

тела, возникают конвективные течения, приводящие к активному образованию внутренних волн в окружающей жидкости [1–3].

В данной работе представлен обзор численных моделей и выполненных с их применением исследований турбулентных следов за телами с двигателем, собственная тяга которого уравнивает силу гидродинамического сопротивления — безымпульсных следов. Особенностью таких турбулентных следов является их более быстрое вырождение в сравнении с турбулентными следами за буксируемыми телами [4–6].

**Лабораторные эксперименты.** Для начала обратимся к имеющимся экспериментальным данным. Одной из первых работ, в которых в условиях лабораторного эксперимента было установлено, что турбулентный след в линейно стратифицированной среде существенно отличается от следа в однородной жидкости, является, по-видимому, работа Schooley & Stewart [7]. В ней продемонстрированы основные особенности развития турбулентного следа в устойчиво стратифицированной среде — коллапс (сплющивание) следа и генерация следом внутренних волн, представлены также некоторые теоретические оценки параметров генерируемых внутренних волн.

В работе Merrit [3] кроме результатов оригинальных лабораторных измерений размеров турбулентного следа в линейно стратифицированной среде и расстояния от тела, на котором начинается коллапс следа, содержится также анализ этих данных. Отмечается, в частности, что характерными параметрами течения являются отношение времени после образования следа к периоду Вайсяля — Брента  $T$  и плотностное число Фруда  $Fr$ :

$$Fr = \frac{U_\infty T}{D}, \quad T = \frac{2\pi}{\sqrt{ag}} = \frac{1}{N}$$

( $a > 0$  — константа, определяемая градиентом плотности невозмущенной жидкости  $\rho_s(z)$ ,  $U_\infty$  — скорость набегающего потока,  $D$  — характерный размер тела,  $N$  — частота Вайсяля — Брента,  $g$  — ускорение силы тяжести).

Наиболее детальные лабораторные измерения характеристик турбулентности в следах за телами, движущимися в линейно стратифицированной среде, проведены Lin & Pao [8] (некоторые результаты экспериментов этих авторов для следов в однородной и линейно стратифицированной средах, в том числе данные о вырождении дефекта продольной компоненты осредненной скорости, можно найти в [9, 10]). В [8] представлены подробные количественные данные о поведении линейных размеров следа и интенсивностей турбулентных флуктуаций полей плотности и скорости в безымпульсном турбулентном следе для достаточно широкого диапазона чисел Фруда, включая трудно моделируемые в лабораторных условиях большие значения этого параметра. Полученные данные иллюстрируют анизотропный характер вырождения интенсивностей пульсационных составляющих горизонтальной и вертикальной компонент скорости на больших расстояниях от тела.

Детальный анализ экспериментальных данных о вырождении турбулентных следов за буксируемыми и самодвижущимися телами в линейно стратифицированных жидкостях и теоретические оценки параметров внутренних волн выполнены в работах Voisin [11] и Чашечкина [12].

Лабораторные опыты показывают, что в тех случаях, когда распределение плотности невозмущенной жидкости по глубине задается существенно нелинейным, картина течения может сильно отличаться от наблюдаемой в линейно стратифицированной среде. Наиболее характерные изменения были продемонстрированы Gilreath & Brandt [13] на примере движения тела в слое раздела пикноклина, представляющего собой непрерывный аналог

двуслойной жидкости. В ходе экспериментов варьировалось соотношение толщины высокоградиентной прослойки пикноклина и диаметра тела. Представлены данные о качественной картине течения, отмечена тенденция к формированию (в случае, когда толщина прослойки меньше диаметра тела) близких к стационарным внутренним волн конечной амплитуды; выполнены теоретические оценки наблюдаемых внутренних волн.

В работе Vgoraev et al. [14] исследуются крупные вихревые структуры, образующиеся при маневрировании самодвижущегося тела в стратифицированной среде; определены условия формирования вихревых структур в следах, получены данные об основных характеристиках вихрей.

Весьма значительная часть исследований безымпурсных турбулентных следов в стратифицированной жидкости выполнена в рамках упрощенных представлений — в плоской постановке. В лабораторных условиях в бассейне с неподвижной стратифицированной жидкостью с помощью разного рода турбулизаторов создавалась плоская область турбулентных возмущений, время развития которой предполагалось равным времени жизни следа.

Автором одной из наиболее ранних экспериментальных работ, в которых изучался двумерный нестационарный аналог трехмерного турбулентного следа за движущимся телом в линейно стратифицированной среде, был Schooley [15] (ссылки на другие ранние работы имеются, например, в [3]). Трохан и Чашечкин [16] провели исследование фазовой картины внутренних волн. В экспериментах Као, Рао [17] рассматривалось течение, генерируемое турбулизованной областью в пикноклине: изучалась волновая картина течения, в частности, были получены данные о возникновении в пикноклине уединенных внутренних волн.

Экспериментальному изучению развития области турбулизованной жидкости в тонкослойной среде посвящена работа Попова [18]. Исследовано изменение формы турбулентного пятна в зависимости от его расположения относительно прослоек жидкости с большими градиентами плотности. Как установлено в [18], основной особенностью рассматриваемого течения является преимущественное растекание пятна в виде узких языков вдоль высокоградиентных прослоек, а именно — вдоль расположенных внутри этих прослоек горизонтальных плоскостей, соответствующих равновесному положению частиц перемешанной жидкости.

Качественное представление о рассматриваемом течении дают многочисленные исследования ламинарных перемешанных областей в стратифицированных средах. Наиболее полные обзоры работ этого направления (как экспериментальных, так и численно-теоретических) можно найти в [19, 20]. Из экспериментальных работ в первую очередь необходимо упомянуть лабораторные опыты Wu [21], посвященные изучению коллапса однородного по плотности пятна в линейно стратифицированной среде. Maxworthy [22] изучал внутренние волны, формирующиеся при развитии перемешанных областей в пикноклине, включая стационарные волновые образования. В опытах Мадерича, Кулика [23] изучались закономерности растекания интрузий в тонкослойной среде. Основное внимание уделялось установлению характера зависимости течения в пикноклине от соотношения характерного размера интрузии и толщины слоя раздела (слоя с максимальными градиентами плотности). В частности, было продемонстрировано (вслед за [24], где проводилось численное моделирование течения на основе уравнений Эйлера в приближении Обербека — Буссинеска) формирование уединенных внутренних волн при эволюции перемешанной области в “узком” слое раздела, когда размер области значительно превосходит толщину слоя раздела.

Данные, полученные в ходе лабораторных экспериментов (дополнительные ссылки

можно найти в приводимой литературе), имеют важное значение для понимания процессов, происходящих при эволюции турбулентных следов. Следует отметить, однако, что количественное, а зачастую и качественное воспроизведение результатов этих исследований является затруднительным для численного моделирования из-за недостатка исходных данных об условиях проведения экспериментов (во многих экспериментах турбулизующее устройство оставалось в зоне смешения во все время их проведения). В большинстве из них также отсутствуют более или менее полные количественные данные о поведении основных характеристик течения (в особенности это относится к измерениям характеристик турбулентности). Это обстоятельство, по-видимому, служит подтверждением того факта, что экспериментальное исследование данного класса течений, так же как и его численное моделирование, представляет собой весьма трудноразрешимую задачу.

**Некоторые сведения о полуэмпирических моделях турбулентности.** Основным инструментом при проведении теоретических и численных исследований турбулентных следов за телами с движителями, как и многих других турбулентных течений, были и остаются до настоящего времени полуэмпирические модели турбулентности. Их подробное описание, в том числе с изложением физических аспектов и принципов построения, можно найти в [25–31]. Ниже будут приведены некоторые основные сведения, необходимые для дальнейшего изложения.

Для построения полуэмпирических моделей турбулентности мгновенные гидродинамические характеристики течения представляются в виде суммы средних и пульсационных составляющих. В результате привлекаемая для описания турбулентного течения в следе за телом, движущимся в устойчиво стратифицированной среде, система осредненных уравнений Навье — Стокса в приближении Обербека — Буссинеска (для статистически стационарного класса течений) записывается в следующем виде [31]:

$$U_k \frac{\partial U_i}{\partial x_k} = -\frac{1}{\rho_0} \frac{\partial \langle p_1 \rangle}{\partial x_i} + \nu \Delta U_i + g_i \frac{\langle \rho_1 \rangle}{\rho_0} - \frac{\partial \langle u'_i u'_k \rangle}{\partial x_k}; \quad (0.1)$$

$$U_k \frac{\partial \langle \Theta \rangle}{\partial x_k} = -\frac{\partial \langle u'_k \Theta' \rangle}{\partial x_k} + \chi \Delta \langle \Theta \rangle; \quad (0.2)$$

$$\frac{\partial U_k}{\partial x_k} = 0, \quad i, k = 1, 2, 3. \quad (0.3)$$

Здесь и ниже штрихом помечены пульсационные составляющие; угловые скобки  $\langle \rangle$  — символ осреднения;  $\Delta$  — оператор Лапласа; по повторяющимся индексам предполагается суммирование. Кроме того, приняты следующие обозначения:  $U_1 = U$ ,  $U_2 = V$ ,  $U_3 = W$  — компоненты скорости осредненного движения в направлении осей  $x_1 = x$ ,  $x_2 = y$ ,  $x_3 = z$ ;  $u'_1 = u'$ ,  $u'_2 = v'$ ,  $u'_3 = w'$  — пульсационные составляющие скорости;  $\Theta$  — температура;  $\rho$  — плотность жидкости,  $\langle \rho_1 \rangle = \langle \rho \rangle - \rho_s$  — осредненный дефицит плотности;  $\rho_s = \rho_s(z)$  — плотность невозмущенной жидкости,  $\rho_0 = \rho_s(0)$ ;  $p_1$  — отклонение давления от гидростатического, обусловленного стратификацией  $\rho_s$ ;  $\nu$ ,  $\chi$  — коэффициенты кинематической вязкости и температуропроводности;  $\mathbf{g} = (0, 0, -g)$ . Плотность жидкости считается линейной функцией температуры:  $\rho - \rho_0 = -\beta \rho_0 (\Theta - \Theta_0)$ , где  $\Theta_0 = \Theta(0)$ ,  $\beta$  — коэффициент объемного расширения; стратификация предполагается устойчивой ( $dp_s/dz \leq 0$ ) и слабой.

Для построения замкнутой системы уравнений (0.1)–(0.3) необходимо выбрать способ аппроксимации неизвестных одноточечных корреляционных моментов второго порядка — компонент тензора рейнольдсовых напряжений  $\langle u'_i u'_k \rangle$  ( $i, k = 1, 2, 3$ ) и вектора турбулентных потоков  $\langle u'_k \rho' \rangle$  ( $k = 1, 2, 3$ ), фигурирующих в правых частях этих уравнений. Рассмо-

трим кратко иерархию полуэмпирических моделей турбулентности, привлекаемых для расчетов интересующего нас течения.

Наиболее общая модель турбулентности второго порядка включает следующие дифференциальные уравнения переноса моментов второго порядка (см., например, [25, 28, 32]). Уравнение переноса компонент тензора рейнольдсовых напряжений может быть записано в виде (здесь и всюду в данном пункте индексы принимают значения  $i, j, k, l = 1, 2, 3$ ):

$$U \frac{\partial \langle u'_i u'_j \rangle}{\partial x} + V \frac{\partial \langle u'_i u'_j \rangle}{\partial y} + W \frac{\partial \langle u'_i u'_j \rangle}{\partial z} = D_{ij} + P_{ij} + G_{ij} + \Pi_{ij} - \varepsilon_{ij}. \quad (0.4)$$

Слагаемые  $P_{ij}$  и  $G_{ij}$  представляют собой порождение за счет осредненного движения и архимедовых сил соответственно (здесь и ниже также по повторяющимся индексам предполагается суммирование):

$$P_{ij} = - \left\{ \langle u'_i u'_k \rangle \frac{\partial U_j}{\partial x_k} + \langle u'_j u'_k \rangle \frac{\partial U_i}{\partial x_k} \right\}, \quad G_{ij} = \frac{1}{\rho_0} (\langle u'_i \rho' \rangle g_j + \langle u'_j \rho' \rangle g_i),$$

$$2P = P_{ii}, \quad 2G = G_{ii}.$$

В правой части (0.4)  $D_{ij}$ ,  $\varepsilon_{ij}$  — диффузионные и диссипативные слагаемые,  $\Pi_{ij}$  — слагаемые с турбулентными пульсациями давления. Их точные представления содержат новые неизвестные двойные и тройные корреляции пульсационных величин, что требует привлечения дополнительных гипотез. Приведем наиболее часто применяемые [33, 34]:

$$D_{ij} \approx - \frac{\partial}{\partial x_l} \langle u'_l u'_i u'_j \rangle = - \frac{\partial}{\partial x_l} \langle u'_l u'_i u'_j \rangle^0 = \frac{\partial}{\partial x_l} c_s \frac{e}{\varepsilon} \langle u'_k u'_l \rangle \frac{\partial \langle u'_i u'_j \rangle}{\partial x_k}; \quad (0.5)$$

$$\Pi_{ij} = -c_1 \frac{\varepsilon}{e} \left( \langle u'_i u'_j \rangle - \frac{2}{3} \delta_{ij} e \right) - c_2 \left( P_{ij} - \frac{2}{3} \delta_{ij} P \right) - c_3 \left( G_{ij} - \frac{2}{3} \delta_{ij} G \right); \quad (0.6)$$

$$\varepsilon_{ij} = \frac{2}{3} \delta_{ij} \varepsilon. \quad (0.7)$$

Энергия турбулентности по определению равна  $e = (\langle u'^2 \rangle + \langle v'^2 \rangle + \langle w'^2 \rangle)/2$ .

Дифференциальные уравнения переноса компонент вектора турбулентных потоков  $\langle u'_i \rho' \rangle$  и величины дисперсии турбулентных флуктуаций плотности  $\langle \rho'^2 \rangle$  могут быть записаны (с учетом достаточно общепринятых аппроксимаций) в следующем виде:

$$U \frac{\partial \langle u'_i \rho' \rangle}{\partial x} + V \frac{\partial \langle u'_i \rho' \rangle}{\partial y} + W \frac{\partial \langle u'_i \rho' \rangle}{\partial z} = \frac{\partial}{\partial x_l} c_{s\varphi} \frac{e}{\varepsilon} \langle u'_k u'_l \rangle \frac{\partial \langle u'_i \rho' \rangle}{\partial x_k} - \left( \langle u'_i u'_k \rangle \frac{\partial \langle \rho' \rangle}{\partial x_k} + \langle u'_k \rho' \rangle \frac{\partial U_i}{\partial x_k} \right) + \frac{g_i}{\rho_0} \langle \rho'^2 \rangle + c_{2T} P_{iT} - c_{1T} \frac{\varepsilon}{e} \langle u'_i \rho' \rangle; \quad (0.8)$$

$$U \frac{\partial \langle \rho'^2 \rangle}{\partial x} + V \frac{\partial \langle \rho'^2 \rangle}{\partial y} + W \frac{\partial \langle \rho'^2 \rangle}{\partial z} = \frac{\partial}{\partial x_l} c_\varphi \frac{e}{\varepsilon} \langle u'_k u'_l \rangle \frac{\partial \langle \rho'^2 \rangle}{\partial x_k} - 2 \langle u'_k \rho' \rangle \frac{\partial \langle \rho' \rangle}{\partial x_k} - c_T \frac{\varepsilon}{e} \langle \rho'^2 \rangle, \quad (0.9)$$

$$P_{iT} = \langle u'_k \rho' \rangle \frac{\partial U_i}{\partial x_k} - \frac{g_i}{\rho_0} \langle \rho'^2 \rangle.$$

Наконец, в дополнение к представленным уравнениям переноса одноточечных корреляционных моментов второго порядка должны быть привлечены соотношения, в той или иной мере характеризующие пространственный масштаб турбулентности. Одним из наиболее

универсальных способов следует считать определение скорости диссипации  $\varepsilon$  из уравнения [25, 28]

$$U \frac{\partial \varepsilon}{\partial x} + V \frac{\partial \varepsilon}{\partial y} + W \frac{\partial \varepsilon}{\partial z} = D_\varepsilon + c_{\varepsilon 1} \frac{\varepsilon}{e} (P + G) - c_{\varepsilon 2} \frac{\varepsilon^2}{e}, \quad (0.10)$$

в котором аппроксимация диффузионных слагаемых, как правило, согласуется с представлением соответствующих членов в уравнении переноса энергии турбулентности. Альтернативой уравнению (0.10) является непосредственное определение характерного масштаба турбулентности  $L$  из геометрических соображений либо из решения дифференциального уравнения для этой величины [25]. Заключительный этап в создании замкнутой математической модели — определение эмпирических постоянных  $c_s, c_1, c_2, c_3, c_{s\varphi}, c_\varphi, c_{1T}, c_{2T}, c_T, c_{\varepsilon 1}, c_{\varepsilon 2}$ . Наиболее употребительные наборы значений приведены в обзорной статье Rodi [25].

С целью получения упрощенных моделей для части или всех корреляционных моментов второго порядка вместо дифференциальных уравнений (0.4), (0.8), (0.9) привлекаются алгебраические представления, являющиеся результатом усечения этих уравнений (например, в модельном приближении локального равновесия — малости производных искомой величины по времени и пространственным переменным [25, 35]). Достаточно широко известны алгебраические локально-равновесные [35] аппроксимации компонент тензора рейнольдсовых напряжений

$$\frac{\langle u'_i u'_j \rangle}{e} = -\frac{2}{3} \frac{(1 - c_2 - c_1)}{c_1} \delta_{ij} + \frac{(1 - c_2)}{c_1} \frac{P_{ij}}{\varepsilon} + \frac{(1 - c_3)}{c_1} \frac{G_{ij}}{\varepsilon}, \quad (0.11)$$

а также упрощенные неравновесные представления [26] для этих величин

$$\frac{\langle u'_i u'_j \rangle}{e} = \frac{2}{3} \delta_{ij} + \frac{1 - c_2}{c_1} \left( \frac{P_{ij}}{\varepsilon} - \frac{2}{3} \delta_{ij} \frac{P}{\varepsilon} \right) + \frac{1 - c_3}{c_1} \left( \frac{G_{ij}}{\varepsilon} - \frac{2}{3} \delta_{ij} \frac{G}{\varepsilon} \right). \quad (0.12)$$

Важным следствием (0.12) является изотропное соотношение

$$\langle u'_i u'_j \rangle = 2/3 \delta_{ij} e, \quad (0.13)$$

справедливое для бессдвиговых течений в отсутствие силы тяжести. В случае использования алгебраических представлений для нормальных напряжений Рейнольдса модель турбулентности дополняется уравнением переноса энергии турбулентности, являющимся прямым следствием уравнений (0.4) (согласно определению величины  $e$ ):

$$U \frac{\partial e}{\partial x} + V \frac{\partial e}{\partial y} + W \frac{\partial e}{\partial z} = D_e + P + G - \varepsilon, \quad D_e = D_{ii}/2. \quad (0.14)$$

Для компонент вектора турбулентных потоков вместо (0.8) могут быть привлечены алгебраические неравновесные [36]

$$-\langle u'_i \rho' \rangle = \Phi_T \frac{e}{\varepsilon} \langle u'_i u'_k \rangle \frac{\partial \langle \rho \rangle}{\partial x_k} - \Phi'_T \frac{e}{\varepsilon} P_{iT}, \quad (0.15)$$

$$\Phi_T = \left( c_{1T} + \frac{1}{2} \left( \frac{P + G}{\varepsilon} - 1 \right) \right)^{-1}, \quad \Phi'_T = (1 - c_{2T}) \Phi_T$$

или локально-равновесные [35] усечения этих уравнений

$$-\langle u'_i \rho' \rangle = \frac{e}{c_{1T} \varepsilon} \left[ \langle u'_i u'_k \rangle \frac{\partial \langle \rho \rangle}{\partial x_k} + (1 - c_{2T}) \left( \langle u'_k \rho' \rangle \frac{\partial U_i}{\partial x_k} - \frac{g_i}{\rho_0} \langle \rho'^2 \rangle \right) \right]. \quad (0.16)$$

Наконец, локально-равновесное усечение уравнения (0.9) переноса величины дисперсии турбулентных флуктуаций поля плотности приводит к выражению

$$\langle \rho'^2 \rangle = -\frac{2}{c_T} \frac{e}{\varepsilon} \langle u'_k \rho' \rangle \frac{\partial \langle \rho \rangle}{\partial x_k}. \quad (0.17)$$

Наиболее простые модели турбулентности второго порядка, включающие одно ( $e$ -модель) или два ( $(e - \varepsilon)$  или  $(e - L)$ -модели) дифференциальных уравнения для характеристик турбулентности, получаются, в частности, в случае одновременного использования упрощенных алгебраических аппроксимаций (0.12), (0.16) при пренебрежении ролью средней скорости и архимедовых сил.

## 1. Схематизированная плоская модель безымпульсных турбулентных следов в устойчиво стратифицированной среде

В литературных источниках имеются ссылки на сравнительно небольшое число работ, посвященных численному моделированию безымпульсных турбулентных следов в стратифицированной среде. Согласно публикациям как за рубежом, так и в нашей стране исследования в этом направлении ведутся с начала 70-х годов. В целом ряде работ [1, 2, 37–44] безымпульсные турбулентные следы изучались с применением схематизированной плоской модели (по аналогии с экспериментальными работами [3, 15–18]). В них рассматривалась плоская нестационарная задача об эволюции локальной области турбулентных возмущений в линейно стратифицированной жидкости. Исходная постановка задачи в данном модельном приближении может быть представлена в следующем общем виде. В области конечных размеров, расположенной в безграничной несжимаемой устойчиво стратифицированной жидкости, задаются турбулентные возмущения. Для описания возникающего турбулентного течения привлекается система осредненных уравнений, полученная из (0.1)–(0.3) в предположении малости членов с молекулярной вязкостью и диффузией, а также производных по  $x$  в правых частях (0.1), (0.2) и левой части (0.3). Дополнительно полагается:  $U \equiv U_\infty$ ,  $t = x/U_\infty$ .

### 1.1. Линейная стратификация

В первых работах по численному моделированию эволюции плоской зоны турбулентного смешения в устойчиво стратифицированной среде [1, 2], выполненных Васильевым, Кузнецовым, Лыткиным, Черных, исходные уравнения движения записывались в пренебрежении конвективными слагаемыми. Для расчетов привлекалась простейшая  $e$ -модель, в которой полагалось справедливым соотношение (0.13), и в уравнении переноса энергии турбулентности (0.14) не учитывалось порождение энергии турбулентности за счет осредненного движения и архимедовых сил ( $P = G = 0$ ). В качестве масштабов турбулентности

использовались линейные размеры  $L_y$  и  $L_z$  турбулизованной области (в данном разделе обозначения соответствуют избранной в настоящей работе системе координат, в которой ось  $z$  направлена вверх, против силы тяжести). Компоненты вектора турбулентных потоков аппроксимировались простейшими градиентными гипотезами, причем коэффициенты турбулентной диффузии и вязкости в этой модели полагались идентичными и равными:

$$K_y = \varkappa\sqrt{e}L_y, \quad K_z = \varkappa\sqrt{e}L_z, \quad \varkappa = \text{const}.$$

Были получены данные, иллюстрирующие развитие области турбулентных возмущений и генерируемых внутренних волн, продемонстрирован коллапс зоны смешения; впервые численно продемонстрировано возникновение и распространение конвективных вихрей, соответствующих внутренним волнам.

Эти результаты подтверждены расчетами тех же авторов [37] на основе модели, в которой использовался значительно более совершенный способ определения нормальных напряжений Рейнольдса: вместо простейшего изотропного соотношения (0.13) привлекались дифференциальные уравнения переноса этих величин, аналогичные (0.4), с аппроксимацией  $\Pi_{ij}$  простейшей гипотезой Ротга (первого слагаемого в правой части (0.6)). При этом была сделана попытка уточнить также коэффициенты турбулентной вязкости и диффузии:

$$K_y = \varkappa_1 \frac{\langle v'^2 \rangle e}{\varepsilon}, \quad K_z = \varkappa_1 \frac{\langle w'^2 \rangle e}{\varepsilon}. \quad (1.1)$$

В [37]  $\varepsilon = \alpha e^{3/2} / \sqrt{S}$ ,  $\alpha = \text{const}$ , а характерный пространственный масштаб  $S$  вычислялся с привлечением интеграла от распределения энергии турбулентности. Остальные аппроксимации аналогичны тем, что использовались в [2].

Лыткиным и Черных [38] с использованием модифицированной модели работы [37] (привлекалась полная аппроксимация (0.6) “обменных” слагаемых в уравнениях переноса нормальных напряжений) был проведен численный анализ течения, на основе которого сделан вывод о существовании в линейно стратифицированной среде подобия характеристик турбулентности и внутренних волн по плотностному числу Фруда при больших значениях этого параметра. Помимо этого, в [38] представлены некоторые данные, свидетельствующие о слабом влиянии используемой модели турбулентности на характеристики внутренних волн; получено качественное, а по фазовой картине внутренних волн и количественное согласие результатов расчетов с лабораторными измерениями Трохана, Чашечкина [16].

По результатам анализа поведения суммарных энергий турбулентности и внутренних волн, генерируемых при эволюции зоны турбулентного смешения, в работах Лыткина, Черных [38] и Черных, Лыткина, Стуровой [39] сделан вывод о независимом развитии при больших значениях времени в линейно стратифицированной среде внутренних волн и турбулентности (т. е. о расщеплении течения на волновой и диффузионный процессы). При этом расчет параметров внутренних волн при  $t/T \geq 1$  может быть выполнен с применением уравнений Эйлера в приближении Обербека — Буссинеска (при соответствующем задании перемешивания и размера области возмущений). С использованием результатов расчетов задачи в полной постановке в [39] И.В. Стуровой построена простая линейная аналитическая модель волновой картины для больших значений времени вырождения. Результаты расчетов по полной и аналитической моделям оказались весьма близкими. Позже аналогичная модель была получена Voisin [11].

Продолжением численных экспериментов [38, 39], демонстрирующих расщепление течения на волновой и диффузионный процессы, явилась работа Черных [40], в которой



показана применимость диффузионной модели к расчету характеристик турбулентности при описании динамики турбулизованной области в линейно стратифицированной среде для больших значений времени. В расчетах [40] использовалась модель работы [38] с дифференциальными уравнениями для нормальных напряжений. Исследовался также вопрос о постановке граничных условий для волновых характеристик течения на внешних границах расчетной области: привлекались “открытые” краевые условия и условия невозмущенного потока. Было продемонстрировано, что влияние типа граничных условий оказывается несущественным для расчетов характеристик турбулентности.

Численный анализ применимости ряда моделей, представляющих собой модификацию модели работы [38], к описанию эволюции зоны турбулентного смешения в линейно стратифицированной среде выполнен Черных [41]: продемонстрированы разумность подхода, предполагающего бесслышность течения (при введении в модель дополнительного дифференциального уравнения вида (0.4) трансформации касательного напряжения  $\langle v'w' \rangle$ ), а также несостоятельность простейшей  $\epsilon$ -модели [1, 2] при больших значениях времени. Слабая зависимость картины внутренних волн от рассмотренных в данной работе моделей турбулентности обусловлена тем фактом, что формирование внутренних волн в линейно стратифицированной среде происходит при небольших значениях времени ( $t/T \leq 1$ ), где работают даже простейшие модели.

Анализируя используемые в работах [1, 2, 37–41] модели турбулентности, можно отметить, что в них реализуются как простейшие (изотропные), так и достаточно полные аппроксимации нормальных рейнольдсовых напряжений. Привлечение дифференциальных уравнений переноса этих величин (в комплексе с более совершенным способом определения масштаба) делает возможным проведение расчетов для достаточно больших значений времени. Вместе с тем, как видно из расчетов [38, 40], слабым местом разработанного в [38] варианта модели с уравнениями для нормальных напряжений остается неудовлетворительное описание анизотропного вырождения нормальных напряжений — при  $t/T \geq 2$  величина интенсивности турбулентных флуктуаций вертикальной компоненты скорости вырождается чрезмерно быстро в сравнении с интенсивностью турбулентных флуктуаций горизонтальных компонент скорости. Это противоречит экспериментальным данным [8] и указывает на необходимость модификации модели. В этой связи остается открытым ряд вопросов, в частности — о роли более детальных аппроксимаций компонент вектора турбулентных потоков. Рассмотрению этого и других аспектов в численных моделях динамики плоской турбулизованной области в стратифицированной жидкости посвящены работы [42–44].

Систематическое исследование применимости различных моделей турбулентности к расчетам турбулентных следов в устойчиво стратифицированных жидкостях (в схематизированной плоской постановке) проведено в работах [42, 43]. Для замыкания исходной осредненной системы уравнений привлекается иерархия полуэмпирических моделей турбулентности, аналогичная описанной во введении: наиболее сложная из них составляется из дифференциальных уравнений переноса моментов второго порядка вида (0.4), (0.8), (0.9) (с учетом принятых в данной постановке упрощений); в простейшей полагается  $\langle u_i'^2 \rangle = 2/3\epsilon$  ( $i = 1, 2, 3$ ). Общим местом рассмотренной в [42, 43] иерархии моделей является определение скорости диссипации  $\epsilon$  из уравнения вида (0.10), а также привлечение (из соображений, связанных с упрощением численного алгоритма) дифференциального уравнения переноса касательного напряжения  $\langle v'w' \rangle$ . Основное внимание в этих работах уделялось исследованию применимости алгебраических аппроксимаций моментов второго порядка вида (0.11), (0.12), (0.15)–(0.17). Из анализа результатов расчетов следует: во-первых, ал-

гебраические представления моментов второго порядка дают результаты, весьма близкие к полученным с применением дифференциальных уравнений переноса этих величин; во-вторых, простейшей из пригодных для расчетов рассматриваемого течения аппроксимаций компонент вектора турбулентных потоков можно считать локально-равновесное представление вида (0.16). Полученная волновая картина течения слабо зависит от применяемой модели турбулентности, что подтверждает данные ранних исследований [38, 41].

Несколько слов о методах решения в работах [1, 2, 37–44]. Они основываются на использовании переменных функция тока — завихренность и методов расщепления по пространственным переменным [45]. В [1, 2, 37–41] используются равномерные конечно-разностные сетки, в [42–44] — неравномерные ортогональные сетки, сгущающиеся в окрестности особенностей течения. При решении модельных задач в [44] применялись адаптивные подвижные сетки.

Простая аналитическая квазиодномерная модель эволюции области турбулентных возмущений в следе за самодвижущимся телом в линейно стратифицированной среде построена Скуриным [46]. Получено удовлетворительное согласие с измерениями [8] в части описания размеров следа.

## 1.2. Нелинейная стратификация

Математическая модель динамики плоской области турбулентного смешения в пикноклине представлена в [44]. Данная модель базируется на модифицированной  $(e - \varepsilon)$ -модели турбулентности, включающей алгебраические аппроксимации для моментов второго порядка вида (0.12), (0.16), (0.17). Для введения коэффициентов турбулентной вязкости в уравнениях переноса касательного напряжения  $\langle v'w' \rangle$  (0.4), энергии турбулентности (0.14) и скорости диссипации (0.10) используются соотношения (1.1). В [44] впервые дано основанное на численных расчетах описание особенностей развития течения в пикноклине — интенсивного горизонтального растекания области смешения вдоль высокоградиентной прослойки и формирования уединенных внутренних волн. Результаты расчетов качественно согласуются с экспериментальными данными [17, 18] (согласование качественное, а не количественное, поскольку в [17, 18] отсутствуют необходимые данные об условиях проведения экспериментов и не измерялись характеристики турбулентности). В [44] идея о расщеплении течения при больших значениях времени на волновой и диффузионный процессы была перенесена на случай нелинейного распределения плотности.

Анализ применимости иерархии моделей турбулентности к расчетам эволюции зоны турбулентного смешения в пикноклине выполнен в [42, 44]. Представленные данные свидетельствуют о слабой зависимости характеристик турбулентности и волновой картины течения от применяемой модели турбулентности не только в случае линейной стратификации, но и в пикноклине, когда формируются внутренние волны значительной амплитуды.

## 1.3. Диффузия пассивной примеси от мгновенного локализованного источника в зоне турбулентного смешения

Численному моделированию процесса турбулентной диффузии пассивной примеси от произвольно расположенного мгновенного локализованного источника в зоне турбулентного смешения в однородной и устойчиво стратифицированной средах посвящена серия работ

[47–49]. Расчеты проводились с использованием модифицированных  $(e - \varepsilon)$ -моделей, основанных на алгебраических представлениях моментов второго порядка (0.12), (0.16), (0.17). Дополнительно привлекалось уравнение переноса осредненной концентрации  $C$ :

$$\frac{\partial C}{\partial t} + V \frac{\partial C}{\partial y} + W \frac{\partial C}{\partial z} = - \frac{\partial}{\partial y} \langle v' C' \rangle - \frac{\partial}{\partial z} \langle w' C' \rangle, \quad - \langle v' C' \rangle = K_{cy} \frac{\partial C}{\partial y}, \quad - \langle w' C' \rangle = K_{cz} \frac{\partial C}{\partial z}, \quad (1.2)$$

где  $K_{cy}$ ,  $K_{cz}$  задавались в виде соотношений, подобных применяемым для определения коэффициентов турбулентной диффузии  $K_{py}$ ,  $K_{pz}$  (последние получены в результате приведения соотношений (0.16) к градиентному виду). Исследованы особенности распространения пассивной примеси в случаях, когда положение источника примеси не совпадает с центром турбулизованной области. Показано, что в однородной и линейно стратифицированной средах [47, 48] процесс распространения примеси характеризуется смещением положения максимума осредненной концентрации к центру турбулизованной области, однако это смещение происходит чрезвычайно медленно в сравнении с вырождением турбулентности. Наблюдаемая тенденция устремления положения максимума концентрации к началу координат в однородной жидкости может быть объяснена свойствами замкнутого дифференциального уравнения переноса осредненной концентрации пассивной примеси (1.2). При больших значениях времени распределения концентрации для различных вариантов начальных данных становятся автомодельными и идентичными, если только в начальный момент времени суммарный запас примеси был одинаков. В [49] рассмотрены варианты расположения зоны турбулентного смешения в окрестности высокоградиентной прослойки пикноклина. Показано, что существенную роль в этом случае играет не только начальное расположение источника примеси, но и конвективное течение, индуцируемое коллапсом зоны турбулентного смешения.

Результаты численного анализа эволюции локальных областей турбулизованной жидкости, выполненного в упомянутых в данном разделе работах, имеют важное методологическое значение для численного моделирования спутных турбулентных течений в стратифицированной среде. Кроме того, исследование динамики турбулизованных областей представляет интерес в связи с весьма важной ролью подобных объектов в формировании тонкой микроструктуры гидрофизических полей океана [31, 50]. Ниже будут представлены численные модели и результаты исследований турбулентных следов и генерируемых ими внутренних волн, в которых след рассматривается как пространственное турбулентное течение (без применения схематизированной плоской постановки).

## 2. Безымпульсный турбулентный след в устойчиво стратифицированной среде

### 2.1. Линейная стратификация

Начальная диффузионная (до коллапса) стадия развития турбулентного следа за самодвижущимся телом в линейно стратифицированной среде изучена теоретически Онуфриевым [51] с использованием разработанной алгебраической модели рейнольдсовых напряжений и потоков. Проведены оценки формы турбулентного следа, согласующиеся с результатами ранних экспериментальных работ [7].

Численное моделирование турбулентного следа за самодвижущимся телом и генерируемых при коллапсе следа внутренних волн в линейно стратифицированной среде проведено

Levellen, Teske, Donaldson [52]. Была разработана численная модель с дифференциальными уравнениями для моментов второго порядка, дополненная рядом масштабов пульсационного движения. Эта модель послужила основой для модели, включающей локально-равновесные усечения дифференциальных уравнений переноса всех моментов второго порядка. Согласно [35], последняя применялась для численного моделирования в случае линейной стратификации. Масштаб турбулентности определялся с использованием характерных линейных размеров области турбулентного течения. В [35, 52] представлены данные, иллюстрирующие собственно турбулентный след и генерируемые внутренние волны. Сопоставление расчетных данных с экспериментальными данными Lin & Pao [8] показало удовлетворительное согласие в поведении размеров следа для значений времени  $t \leq T$ .

Работа Hassid [9] содержит достаточно подробное численное исследование следов за самодвижущимся и буксируемым телами в линейно стратифицированной среде, проведенное на основе модифицированной модели локально-равновесного приближения с привлечением уравнений переноса энергии турбулентности и скорости диссипации. В [9] алгебраические соотношения вида (0.11) использовались для получения анизотропных выражений для коэффициентов турбулентной вязкости, при этом вопрос о применимости (0.11) для анализа поведения нормальных напряжений остался открытым. Было выполнено сопоставление с экспериментальными данными Lin & Pao по изменению характерных размеров следа и значений дефекта продольной компоненты осредненной скорости и энергии турбулентности на оси следа. Согласие с данными для буксируемого тела весьма хорошее. В случае самодвижущегося тела выявились трудности с описанием дефекта скорости — влияние стратификации оказалось более выраженным, чем в эксперименте (см. также критический обзор [53]); можно отметить и более медленное, чем в эксперименте, вырождение энергии турбулентности. Имеющиеся погрешности, возможно, связаны с неудачным выбором метода расчета. Это в определенной мере подтверждают численные эксперименты, выполненные позже Мошкиным и др. [54]. В расчетах [54] использовались локально-равновесная модель, аналогичная разработанной в [9], и метод расщепления по физическим процессам. Полученные данные в случае безимпульсного следа оказались достаточно близкими к экспериментальным данным по всем характеристикам, анализировавшимся в [9].

В ряде работ задача об эволюции безимпульсного турбулентного следа в однородной и линейно стратифицированной среде рассматривалась как пример для демонстрации разработанных авторами методов и подходов. Так, в монографии О.М. Белоцерковского [55] описаны результаты решения задачи статистическим методом частиц в ячейках, выполненного Белоцерковским, Ерофеевым, Яницким, Славяновым. В модели применяется релаксационное кинетическое уравнение для одноточечной функции распределения, аналогичное уравнению Больцмана. Метод решения основывается на использовании “жидких” частиц в ячейках и расщеплении эволюции модели на следующие физические процессы: конвективный перенос, диссипацию турбулентной энергии и перераспределение энергии по степеням свободы. Модель демонстрирует достаточно хорошее согласие с экспериментальными данными Naudascher [4] (однородная жидкость) — по изменению характерного размера, распределению энергии турбулентности на оси следа и в его поперечном сечении, а также с лабораторными измерениями Lin & Pao [8] (линейная стратификация) — в осевых значениях интенсивности турбулентных пульсаций продольной составляющей скорости.

Как пример применения неявного варианта метода расщепления по физическим процессам к расчету стратифицированных течений турбулентный след в однородной и линей-

но стратифицированной среде рассмотрен Даниленко, Костиним, Толстых [56]. Замыкание трехмерной параболизированной системы осредненных уравнений Рейнольдса проводилось с использованием полной дифференциальной модели второго порядка, аналогичной [52]. Получено удовлетворительное согласие рассчитанных значений энергии турбулентности на оси следа с экспериментальными данными Naudascher [4], а также осевых значений дефекта продольной компоненты осредненной скорости и энергии турбулентности — с данными Lin & Рао для следа за буксируемым телом в линейно стратифицированной среде [9].

В работе Даниленко [57] разработана модифицированная  $(e - \varepsilon)$ -модель турбулентности с поправкой на анизотропию течения в стратифицированной среде. В эту модель включены, кроме дифференциальных уравнений для энергии турбулентности  $e$  и скорости диссипации  $\varepsilon$ , уравнения переноса вертикальной компоненты вектора турбулентных потоков  $\langle w'\rho' \rangle$  и дисперсии флуктуаций плотности  $\langle \rho'^2 \rangle$ , уточняющие вертикальную турбулентную диффузию. Проведена серия численных экспериментов, в которых варьировались параметр, регулирующий степень анизотропии нормальных напряжений Рейнольдса, и начальная степень перемешивания жидкости в следе в линейно стратифицированной среде. Получено удовлетворительное согласие с экспериментальными и расчетными данными из работы [9] по поведению размеров следа.

Численному моделированию безымппульсных турбулентных следов за шарообразными телами в стратифицированной среде посвящена также работа Глушко, Гумилевского, Полежаева [58]. Предлагаемая модель турбулентного следа основывается на уравнениях Рейнольдса в приближении пограничного слоя, замкнутых с помощью  $(e - \varepsilon)$ -модели турбулентности с привлечением для коэффициентов турбулентной вязкости и диффузии формул, аналогичных предложенным в [9]. Авторы [58] провели оценку роли начальной закрутки при эволюции безымппульсного турбулентного следа в линейно стратифицированной среде.

Из анализа перечисленных работ следует, что значительная часть используемых в них моделей турбулентных следов основывается на дифференциальных уравнениях переноса моментов второго порядка вида (0.4), (0.8), (0.9) или идее их локально-равновесного усечения. В то же время в этих работах экспериментальные данные Lin & Рао [8, 9] воспроизводятся лишь в части описания линейных размеров, осевых значений энергии турбулентности (или одного из нормальных напряжений Рейнольдса [55]) и дефекта продольной составляющей осредненной скорости. При этом за рамками исследований остается проблема анизотропного вырождения турбулентности в дальнем следе, представляющая интерес в связи с изучением турбулентной диффузии в устойчиво стратифицированной среде. Не проводилось численное моделирование турбулентных следов в случае нелинейной стратификации. Рассмотрению этих и других вопросов посвящены работы [59–64], являющиеся логическим продолжением исследований [42–44], выполненных с применением схематизированной плоской модели.

Для описания течения в дальнем безымппульсном турбулентном следе за телом вращения в стратифицированной среде в [59–64] привлекается параболизированная система осредненных уравнений движения, неразрывности и несжимаемости в приближении дальнего следа, полученная из (0.1)–(0.3):

$$U_\infty \frac{\partial U_d}{\partial x} + V \frac{\partial U_d}{\partial y} + W \frac{\partial U_d}{\partial z} = \frac{\partial}{\partial y} \langle u'v' \rangle + \frac{\partial}{\partial z} \langle u'w' \rangle; \quad (2.1)$$

$$U_\infty \frac{\partial V}{\partial x} + V \frac{\partial V}{\partial y} + W \frac{\partial V}{\partial z} = -\frac{1}{\rho_0} \frac{\partial \langle p_1 \rangle}{\partial y} - \frac{\partial}{\partial y} \langle v'^2 \rangle - \frac{\partial}{\partial z} \langle u'w' \rangle; \quad (2.2)$$

$$U_\infty \frac{\partial W}{\partial x} + V \frac{\partial W}{\partial y} + W \frac{\partial W}{\partial z} = -\frac{1}{\rho_0} \frac{\partial \langle p_1 \rangle}{\partial z} - \frac{\partial}{\partial y} \langle v'w' \rangle - \frac{\partial}{\partial z} \langle w'^2 \rangle - g \frac{\langle \rho_1 \rangle}{\rho_0}; \quad (2.3)$$

$$U_\infty \frac{\partial \langle \rho_1 \rangle}{\partial x} + V \frac{\partial \langle \rho_1 \rangle}{\partial y} + W \frac{\partial \langle \rho_1 \rangle}{\partial z} + W \frac{d\rho_s}{dz} = -\frac{\partial}{\partial y} \langle v'\rho' \rangle - \frac{\partial}{\partial z} \langle w'\rho' \rangle; \quad (2.4)$$

$$\frac{\partial V}{\partial y} + \frac{\partial W}{\partial z} = 0. \quad (2.5)$$

Здесь  $U_d = U_\infty - U$  — дефект продольной компоненты скорости,  $U_\infty = \text{const}$  — скорость набегающего потока. Уравнения (2.1)–(2.5) записаны с учетом следующих упрощающих гипотез: в правых частях (2.1)–(2.4) опущены в силу малости слагаемые, содержащие производную по переменной  $x$ , а также сомножители в виде коэффициента ламинарной вязкости или диффузии. Так же, как и в [9], в (2.5) в предположении малости отброшено слагаемое  $\partial U/\partial x$ . Правомерность использования “двумерного” уравнения несжимаемости (3.5) обоснована результатами детальных численных экспериментов [65, 66] и физическими соображениями [4, 5].

Система уравнений (2.1)–(2.5) незамкнута. Четыре модели турбулентности, каждая из которых вместе с уравнениями (2.1)–(2.5) образует замкнутую модель безимпульсного турбулентного следа (для наглядности одна из них приводится ниже полностью), рассмотрены в [61]. В модели 1 интересующие нас компоненты тензора рейнольдсовых напряжений аппроксимировались соотношениями (0.12), компоненты вектора турбулентных потоков и дисперсия турбулентных флуктуаций поля плотности — локально-равновесными соотношениями (0.16), (0.17). Эти выражения упрощаются (по аналогии с [9]) с учетом физических особенностей рассматриваемого течения — спутного струйного турбулентного течения в поле силы тяжести на больших расстояниях от тела — и представляются в следующем виде:

$$\langle u'v' \rangle = \frac{1 - c_2}{c_1} \frac{e \langle v'^2 \rangle}{\varepsilon} \frac{\partial U_d}{\partial y} = K_y \frac{\partial U_d}{\partial y}; \quad (2.6)$$

$$\langle u'w' \rangle = \frac{\left[ (1 - c_2)e \langle w'^2 \rangle - \frac{(1 - c_3)(1 - c_{2T})}{c_{1T}} \frac{g}{\rho_0} \frac{e^2}{\varepsilon^2} \langle w'\rho' \rangle \right]}{c_{1T} \varepsilon \left( 1 - \frac{(1 - c_3)}{c_{1T}} \frac{g}{\rho_0} \frac{e^2}{\varepsilon^2} \frac{\partial \langle \rho \rangle}{\partial z} \right)} \frac{\partial U_d}{\partial z} = K_z \frac{\partial U_d}{\partial z}; \quad (2.7)$$

$$\langle \rho'^2 \rangle = -\frac{2}{c_T} \frac{e}{\varepsilon} \langle w'\rho' \rangle \frac{\partial \langle \rho \rangle}{\partial z}; \quad (2.8)$$

$$-\langle u'\rho' \rangle = \frac{1}{c_{1T}} \frac{e}{\varepsilon} \left[ \langle u'w' \rangle \frac{\partial \langle \rho \rangle}{\partial z} + (1 - c_{2T}) \langle w'\rho' \rangle \frac{\partial U}{\partial z} \right]; \quad (2.9)$$

$$-\langle v'\rho' \rangle = \frac{1}{c_{1T}} \frac{e}{\varepsilon} \langle v'^2 \rangle \frac{\partial \langle \rho \rangle}{\partial y} = K_{\rho y} \frac{\partial \langle \rho \rangle}{\partial y}; \quad (2.10)$$

$$-\langle w'\rho' \rangle = \frac{e \langle w'^2 \rangle}{c_{1T} \varepsilon \left( 1 - 2 \frac{1 - c_{2T}}{c_{1T} c_T} \frac{g}{\rho_0} \frac{e^2}{\varepsilon^2} \frac{\partial \langle \rho \rangle}{\partial z} \right)} \frac{\partial \langle \rho \rangle}{\partial z} = K_{\rho z} \frac{\partial \langle \rho \rangle}{\partial z}. \quad (2.11)$$

Для определения значений энергии турбулентности  $e$ , скорости диссипации  $\varepsilon$  и касательного напряжения  $\langle u'_2 u'_3 \rangle = \langle v'w' \rangle$  привлекаются дифференциальные уравнения переноса

вида (0.14), (0.10) и (0.4), в которых коэффициенты турбулентной вязкости определялись в согласии с (2.6), (2.7). Использование представлений (2.6), (2.7), (2.10), (2.11) в градиентной форме записи позволяет привести уравнения переноса (2.1) и (2.4) к диффузионному виду. В уравнениях и соотношениях (2.1)–(2.11) эмпирические постоянные  $c_1, c_2, c_3, c_{1T}, c_{2T}, c_T, c_{\varepsilon 1}, c_{\varepsilon 2}, c_s, \sigma$  равны соответственно 2.2, 0.55, 0.55, 3.2, 0.5, 1.25, 1.45, 1.90, 0.25, 1.3 [25].

Иерархия моделей работы [61] включает также следующие модели турбулентности. Модель 2 аналогична используемой в [9] (разница в отсутствии в уравнении движения (2.1) величины  $\partial \langle p_1 \rangle / \partial x$ ). Ее основное отличие от модели 1 заключается в использовании для определения компонент тензора рейнольдсовых напряжений вместо “изотропных” соотношений (0.12) локально-равновесного приближения (0.11). Следует заметить, что соотношения (0.12) представляются более предпочтительными в связи с тем, что в безымпурсных следах в однородной жидкости на расстояниях порядка  $10D$  и более достаточно точно выполняется соотношение  $\langle u_i'^2 \rangle = 2/3e$  (см., например, [5]). В модель 3 включены дифференциальные уравнения переноса величин  $\langle u_i'^2 \rangle$  ( $i = 1, 2, 3$ ),  $\langle v'w' \rangle$ , аналогичные (0.4), с аппроксимацией основных слагаемых в правых частях в виде (0.5)–(0.7), причем для диффузионных слагаемых используются упрощенные представления:

$$D_{ij} = \frac{\partial}{\partial x_l} c_s \frac{e}{\varepsilon} \langle u_l' u_l' \rangle \frac{\partial \langle u_i' u_j' \rangle}{\partial x_l}, \quad l = 2, 3. \quad (2.12)$$

Величины  $\langle u'v' \rangle, \langle u'w' \rangle, \langle u_i' \rho' \rangle, \langle \rho'^2 \rangle$  вычисляются из соотношений (2.6)–(2.11). Наконец, отличие модели 4 от модели 3 состоит в отказе от локально-равновесного приближения для определения турбулентных потоков (0.16) и привлечении вместо них неравновесных алгебраических аппроксимаций вида (0.15).

При численном решении задачи переменная  $x$  в дифференциальных уравнениях моделей играет роль времени:  $t = x/U_\infty$ . В качестве начальных данных на расстоянии  $x = x_0$  от тела задается автомодельное решение задачи, соответствующее однородной жидкости и согласующееся с экспериментальными данными Lin & Rao [8, 9]. При  $r \rightarrow \infty$  ставятся условия невозмущенного потока. В основе алгоритма расчета лежит использование переменных функция тока — завихренность, неравномерных ортогональных конечно-разностных сеток и методов расщепления по пространственным переменным. Его подробное изложение и результаты тестирования можно найти в [59–61]. Отметим лишь, что поскольку рассматривается безымпурсное спутное турбулентное течение, одним из важных пунктов алгоритма является строгое выполнение закона сохранения суммарного избыточного импульса

$$\iint_{-\infty}^{\infty} U_d(x, y, z) dy dz = \iint_{-\infty}^{\infty} U_d(x_0, y, z) dy dz = 0.$$

Из анализа результатов расчетов следует, что построенные в [61] математические модели турбулентных следов удовлетворительно описывают экспериментальные данные Lin & Rao [8] по всем измеренным в опытах характеристикам (некоторые результаты показаны на рис. 1–4). Привлечение неравновесных аппроксимаций (0.15) для величин  $\langle u_i' \rho' \rangle$  не приводит к существенным изменениям в результатах расчетов, это относится и к варьированию (в соответствии с рекомендациями [34]) значения эмпирической постоянной  $c_3$ , регулирующей вклад слагаемых с порождением за счет силы тяжести.

Расчеты [61] продемонстрировали (вслед за [38, 41, 43], где продольная компонента скорости не учитывалась) слабую зависимость характеристик внутренних волн в линейно

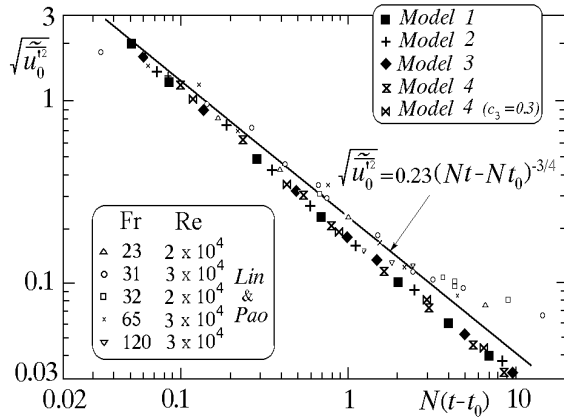


Рис. 1. Изменение интенсивности турбулентных флуктуаций горизонтальной компоненты скорости на оси турбулентного следа;  $\overline{u_0'^2} = Fr^{3/2} \langle u'^2(t, 0, 0) \rangle^*$ ,  $(t_0 = 2/Fr)$ .

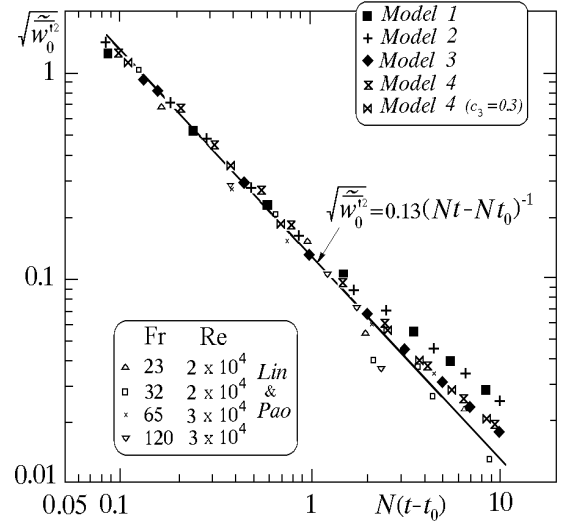


Рис. 2. Изменение интенсивности турбулентных флуктуаций вертикальной компоненты скорости на оси турбулентного следа,  $\overline{w_0'^2} = Fr^{3/2} \langle w'^2(t, 0, 0) \rangle^*$ .

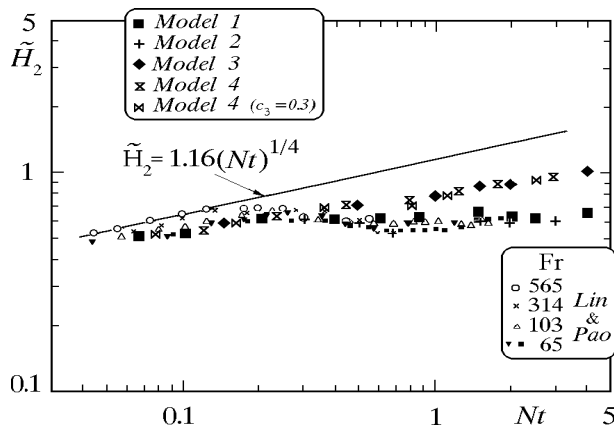


Рис. 3. Изменение в зависимости от расстояния от тела вертикального размера следа;  $\tilde{H}_2 = 2H_2/D(c_D Fr)^{1/4}$ ,  $H_2 : e(t, 0, H_2) = 0.01e(t, 0, 0)$ ,  $t = x/U_\infty$ .

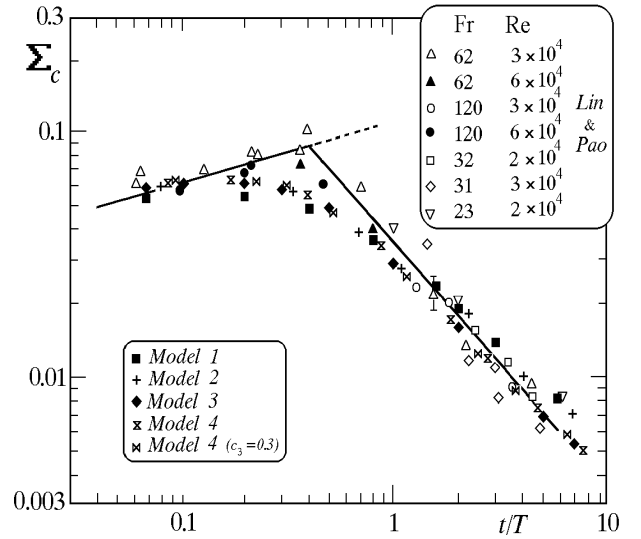


Рис. 4. Изменение интенсивности турбулентных флуктуаций плотности на оси следа;  $\Sigma_c = \sqrt{\langle \rho'^2(t, 0, 0) \rangle} / aD\rho_0 Fr^{1/4}$ .

стратифицированной среде от модели турбулентности. Как и в случае использования схематизированной плоской модели [38, 39], получено расщепление течения в дальнем следе в линейно стратифицированной среде на волновой и диффузионный процессы.

Достаточно хорошо известным [4, 5] свойством безимпульсных турбулентных следов в однородной жидкости является существенно более быстрое вырождение дефекта продольной компоненты скорости  $U_d$  в сравнении с интенсивностью турбулентных флуктуаций  $\sqrt{e}$ . В связи с этим представляет интерес математическая модель безимпульсного



турбулентного следа, в которой  $U_d = 0$ . Приемлемость данного упрощения показана в [61], и, таким образом, численно обоснована применимость схематизированной плоской модели безымпультных турбулентных следов в линейно стратифицированной среде.

*Модели с усовершенствованными аппроксимациями тройных корреляций поля скорости.* Детальный анализ полученных в [61] данных показывает, что изменение линейных размеров следа точнее описывают модели 1, 2 с алгебраическими аппроксимациями напряжений Рейнольдса; лучшие результаты в описании вырождения интенсивностей турбулентных флуктуаций компонент скорости дает модель 3 с дифференциальными уравнениями переноса нормальных рейнольдсовых напряжений и упрощенными неравновесными представлениями касательных напряжений  $\langle u'v' \rangle$ ,  $\langle u'w' \rangle$ . Разработке моделей турбулентных следов в устойчиво стратифицированной среде, соединяющих в себе положительные свойства моделей 1–4, посвящены работы [62–64]. В них для более детального описания анизотропного вырождения турбулентности в дальнем следе используются подходы, предложенные в [30, 67, 68] для задач атмосферного пограничного слоя. В основе подходов лежит привлечение усовершенствованных представлений тройных корреляций поля скорости, аппроксимирующих диффузионные слагаемые в уравнениях переноса напряжений Рейнольдса (0.4). В качестве исходной модели в [62–64] привлекалась содержащая эти уравнения модель 3 работы [61] (ее краткое описание приведено выше).

В работе [62] вместо аппроксимации Daly, Harlow (0.5) используется выражение

$$\langle u'_i u'_i u'_j \rangle = \frac{\langle u'_i u'_i u'_j \rangle^0}{1 - \frac{\lambda}{c_3 c_{3\theta}} \frac{g}{\rho_0} \frac{e^2}{\varepsilon^2} \frac{\partial \langle \rho \rangle}{\partial z}}, \quad \lambda = \delta_{i3} + \delta_{i3} + \delta_{j3}. \quad (2.13)$$

В этой модели (модель 5 на рис. 5, 6) применялись также усовершенствованные с учетом (2.13) представления коэффициентов турбулентной вязкости в уравнении переноса скорости диссипации (0.10) (по аналогии с [68, 69], в которых рассматривались задачи с одним — вертикальным — диффузионным направлением):

$$K_{\varepsilon y} = \frac{c_s}{\sigma_1} \frac{e \langle v'^2 \rangle}{\varepsilon \left( 1 - \frac{2}{c_3 c_{3\theta}} \frac{g}{\rho_0} \frac{e^2}{\varepsilon^2} \frac{\partial \langle \rho \rangle}{\partial z} \right)}, \quad K_{\varepsilon z} = \frac{c_s}{\sigma_1} \frac{e \langle w'^2 \rangle}{\varepsilon \left( 1 - \frac{4}{c_3 c_{3\theta}} \frac{g}{\rho_0} \frac{e^2}{\varepsilon^2} \frac{\partial \langle \rho \rangle}{\partial z} \right)}.$$

В [63] использовались следующие аппроксимации (модель 6 на рис. 5, 6):

$$\langle u'_i u'_i u'_j \rangle = \frac{\langle u'_i u'_i u'_j \rangle^0 - \frac{\lambda}{c_3} \frac{g}{\rho_0} \frac{e}{\varepsilon} \langle u'_i u'_j \rho' \rangle}{1 - \frac{\lambda}{c_3 c_{3\theta}} \frac{g}{\rho_0} \frac{e^2}{\varepsilon^2} \frac{\partial \langle \rho \rangle}{\partial z}}, \quad \lambda = \delta_{i3} + \delta_{i3} + \delta_{j3}, \quad (2.14)$$

где тройные корреляции  $\langle u'_i u'_j \rho' \rangle$  вычислялись стандартным образом [70]:

$$\begin{aligned} -\langle u'_i u'_j \rho' \rangle &= c_{s\varphi} \frac{e}{\varepsilon} \left( \langle u'_k u'_j \rangle \frac{\partial \langle u'_i \rho' \rangle}{\partial x_k} + \langle u'_k u'_i \rangle \frac{\partial \langle u'_j \rho' \rangle}{\partial x_k} \right) \approx \\ &\approx c_{s\varphi} \frac{e}{\varepsilon} \left( \langle u'_j u'_j \rangle \frac{\partial \langle u'_i \rho' \rangle}{\partial x_j} + \langle u'_i u'_i \rangle \frac{\partial \langle u'_j \rho' \rangle}{\partial x_i} \right). \end{aligned}$$

В [63, 64] разработана модель (модель 7 на рис. 5, 6), в которой для более детального описания вертикальной турбулентной диффузии в уравнении переноса  $\langle w'^2 \rangle$  привлекается дифференциальное уравнение переноса величины  $\langle w'^3 \rangle$  [30, 67, 68]:

$$U_\infty \frac{\partial \langle w'^3 \rangle}{\partial x} + V \frac{\partial \langle w'^3 \rangle}{\partial y} + W \frac{\partial \langle w'^3 \rangle}{\partial z} = - \frac{\partial}{\partial y} C_{3332} - \frac{\partial}{\partial z} C_{3333} - 3 \left\{ \langle v'w' \rangle \frac{\partial \langle w'^2 \rangle}{\partial y} + \langle w'^2 \rangle \frac{\partial \langle w'^2 \rangle}{\partial z} \right\} - 3 \frac{g}{\rho_0} \langle w'^2 \rho' \rangle - c_{3w} \frac{\langle w'^3 \rangle \varepsilon}{e}, \quad (2.15)$$

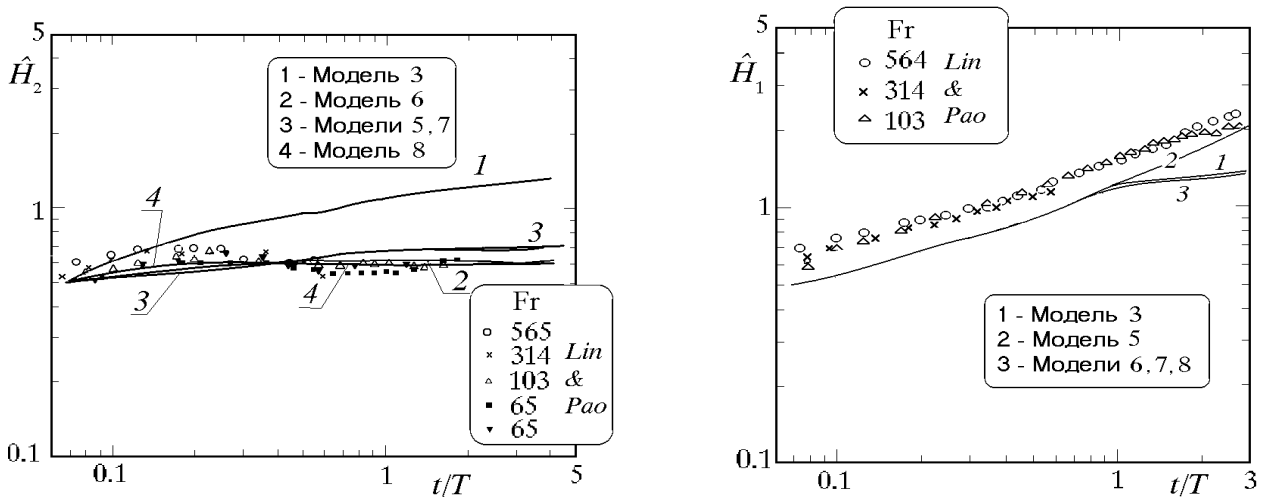


Рис. 5. Изменение горизонтального  $H_1$  и вертикального  $H_2$  размеров следа в плоскости, ортогональной направлению движения тела ( $H_1$  и  $H_2$  определялись из соотношений  $e(t, H_1, 0) = 0.01e(t, 0, 0)$ ,  $e(t, 0, H_2) = 0.01e(t, 0, 0)$ ;  $\hat{H}_1 = 2H_1/D(c_D Fr)^{1/4}$ ,  $\hat{H}_2 = 2H_2/D(c_D Fr)^{1/4}$ ,  $c_D = 0.22$ ).

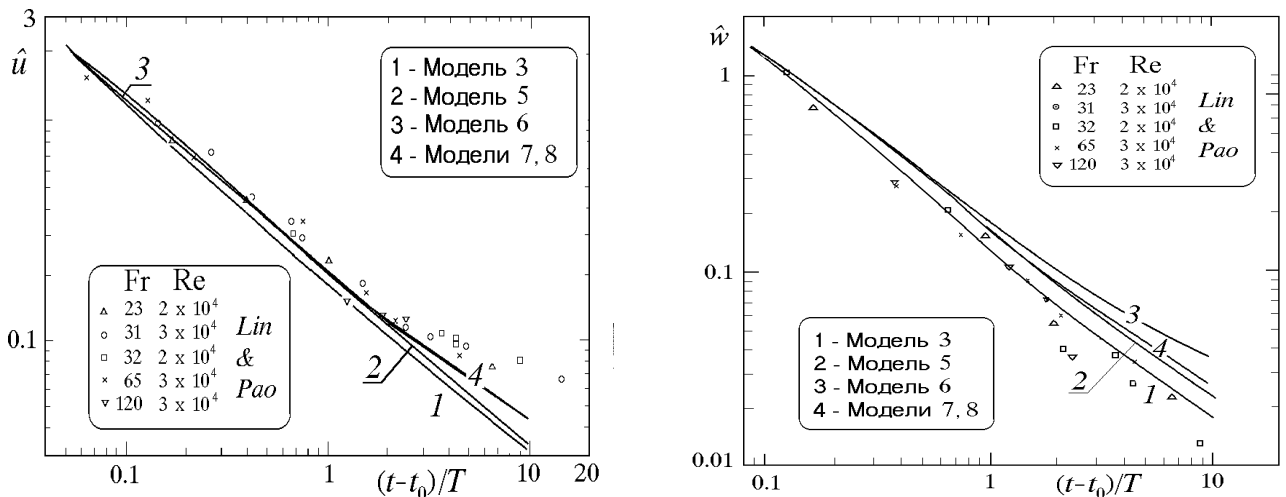


Рис. 6. Изменение во времени осевых значений интенсивности турбулентных флуктуаций продольной  $\hat{u}$  и вертикальной  $\hat{w}$  компонент скорости:  $\hat{u} = \left( Fr^{3/2} \langle u'^2(t, 0, 0) \rangle / U_\infty^2 \right)^{1/2}$ ,  $\hat{w} = \left( Fr^{3/2} \langle w'^2(t, 0, 0) \rangle / U_\infty^2 \right)^{1/2}$ ,  $t_0 = 2/Fr$ .

где  $C_{3332}$ ,  $C_{3333}$  — кумулянты четвертого порядка [30]:

$$C_{3332} = \langle w'^3 v' \rangle - 3 \langle w'^2 \rangle \langle w' v' \rangle \approx -\frac{1}{c_4} \frac{e \langle v'^2 \rangle}{\varepsilon \left( 1 - \frac{3}{c_4 c_{4\theta}} \frac{g}{\rho_0} \frac{e^2}{\varepsilon^2} \frac{\partial \langle \rho \rangle}{\partial z} \right)} \frac{\partial \langle w'^3 \rangle}{\partial y},$$

$$C_{3333} = \langle w'^4 \rangle - 3 \langle w'^2 \rangle^2 = -\frac{4}{c_4} \frac{e \langle w'^2 \rangle}{\varepsilon \left( 1 - \frac{4}{c_4 c_{4\theta}} \frac{g}{\rho_0} \frac{e^2}{\varepsilon^2} \frac{\partial \langle \rho \rangle}{\partial z} \right)} \frac{\partial \langle w'^3 \rangle}{\partial z}.$$

Остальные тройные корреляции определяются алгебраическими соотношениями (2.14).

Использованные в моделях 5–7 усовершенствованные представления тройных корреляций поля скорости приводят к существенным улучшениям в описании размеров турбулентного следа в сравнении с исходной моделью 3 (линия 1 на рис. 5, 6). Лучшее согласие с экспериментальными данными [8] по анизотропному вырождению нормальных напряжений Рейнольдса получено на основе модели 7 с дифференциальным уравнением (2.15) переноса величины  $\langle w'^3 \rangle$ .

В ходе работы над настоящим обзором автором была рассмотрена алгебраическая модель тройных корреляций, полученная из модели 7 в результате локально-равновесного усечения уравнения переноса (2.15) с учетом особенностей спутного течения (по аналогии с [68], где обоснованность подобной процедуры была проверена детальным анализом статей баланса исходного дифференциального уравнения при моделировании эволюции планетарного пограничного слоя). В результате в модели 8 используется следующее представление тройной корреляции  $\langle w'^3 \rangle$ :

$$-\langle w'^3 \rangle = \frac{3}{c_{3w}} \frac{e}{\varepsilon} \left( \langle w'^2 \rangle \frac{\partial \langle w'^2 \rangle}{\partial z} - \frac{g}{\rho_0} \langle w'^2 \rho' \rangle \right),$$

где

$$-\langle w'^2 \rho' \rangle = 2c_{s\varphi} \frac{e}{\varepsilon} \langle w'^2 \rangle \frac{\partial \langle w' \rho' \rangle}{\partial z}.$$

Остальные тройные корреляции поля скорости, как и в моделях 6, 7, аппроксимируются соотношениями (2.14). Расчеты показали, что модель 8 дает лучшее согласование с экспериментальными данными [8] в описании поведения вертикального размера следа, при этом остальные характеристики близки к рассчитанным по модели 7. Таким образом, численные расчеты продемонстрировали хорошие свойства моделей турбулентных следов, основанных на идее выделения вертикального направления при полуэмпирическом моделировании моментов третьего порядка [68].

## 2.2. Нелинейная стратификация

Численная модель динамики дальнего безымпulsiveного турбулентного следа в пикноклине представлена в [59]. Для описания течения привлекается система осредненных уравнений движения, неразрывности и несжимаемости в приближении Обербека — Буссинеска (2.1)–(2.5), в которой одноточечные корреляционные моменты второго порядка аппроксимируются алгебраическими соотношениями, аналогичными описанным в модели 1. Отличие состоит в использовании для коэффициентов турбулентной вязкости вместо (2.6), (3.7) представлений, следующих из (2.12). Выполнен анализ волновой картины течения, в частности, показано формирование в пикноклине близких к стационарным уединенных

внутренних волн. Получено более интенсивное, чем в случае линейного распределения плотности по глубине, горизонтальное растекание турбулентного следа в пикноклине (иллюстрирующие турбулентный след изолинии энергии турбулентности, нормированные на свои максимальные значения, приведены на рис. 7; поведение размеров следа показано на рис. 8). Эти данные согласуются с вытекающими, в частности, из экспериментов [18] представлениями о распространении следов в виде языков вдоль горизонтальных прослоек с большими градиентами плотности.

В [59] проведен численный анализ и показана применимость схематизированной плоской модели безымпulsive турбулентного следа в пикноклине (когда в исходной модели полагается  $U_d = 0$ ). В ходе численных экспериментов установлено расщепление течения на волновой и диффузионный процессы (по аналогии с линейной стратификацией). Момент расщепления в случае пикноклина наступает существенно позже, чем в линейно стратифицированной среде, что объясняется наличием весьма продолжительного слабого взаимодействия турбулентности и генерируемых следом внутренних волн. Это позволяет делать расчеты более экономичными, привлекая на больших расстояниях от тела для численного моделирования характеристик внутренних волн уравнения Эйлера в приближении Обербека — Буссинеска, а для описания характеристик собственно турбулентного следа — диффузионную модель (в качестве начальных данных используются результаты расчетов задачи в полной постановке).

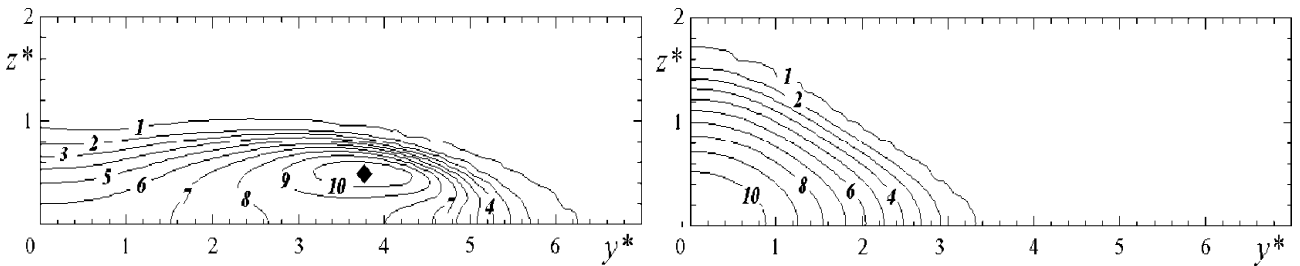


Рис. 7. Изолинии энергии турбулентности  $e/e_m(t) = \text{const}$ , иллюстрирующие турбулентный след в случае пикноклина (слева) и линейной стратификации (справа) при  $t/T = 5$ . Изолинии 1–10 представлены уровнями 0,01; 0,1 и далее до 0,9 с шагом 0,1; значком  $\diamond$  помечен узел сетки, в котором достигается максимум  $e_m(t) = \max_{y_i, z_j} e(t, y_i, z_j)$ .

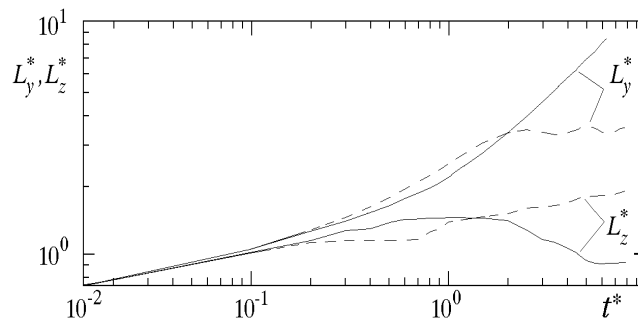


Рис. 8. Изменение характерных горизонтального  $L_y^* = H_1/D$  и вертикального  $L_z^* = H_2/D$  размеров турбулентного следа: сплошные кривые отвечают пикноклину, штриховые — линейной стратификации;  $t^* = t/T$ .

### 3. Численные модели внутренних волн, генерируемых турбулентным следом

Анализ волновой картины течения, генерируемого при эволюции турбулентного следа в устойчиво стратифицированной среде, осуществлен в работах [6, 59, 60, 66, 71]. Для описания течения привлекается математическая модель, основанная на алгебраических аппроксимациях моментов второго порядка (аналогичная описанной выше модели 1). В [60] рассмотрен случай линейной стратификации. Показано, в частности, что рассчитанная фазовая картина внутренних волн достаточно хорошо согласуется с полученной в лабораторном эксперименте [12], а также с решением [72] линеаризованной задачи о динамике внутренних волн, индуцируемых мгновенным точечным источником возмущений поля плотности, помещенным в начало координат.

Анализ волновой картины течения в случае нелинейной стратификации среды [59] указывает на существенное различие в динамике конвективных вихрей в пикноклине и линейной стратификации: линейной стратификации присущ процесс дробления вихрей и образования вихрей противоположной направленности [1, 2, 38]; в рассмотренном “узком” (в сравнении с начальным размером следа) пикноклине в каждом квадранте плоскости  $(y, z)$  формируется единственный вихрь, который на больших расстояниях от тела становится практически стационарным. При этом образуются близкие к стационарным уединенные внутренние волны, скорость и амплитуда которых удовлетворяют известному соотношению Бенжамина [73].

Сопоставление параметров внутренних волн, индуцируемых турбулентными следами за буксируемым и самодвижущимся телами в устойчиво стратифицированных средах, осуществлено в [6, 66, 71]. Рассмотрены варианты линейного [6, 66] и нелинейного [6, 71] распределений плотности невозмущенной жидкости по глубине. Показана генерация турбулентным следом за буксируемым телом внутренних волн существенно большей амплитуды, чем в случае самодвижущегося тела (полученная в расчетах картина внутренних волн иллюстрируется на рис. 9 динамикой во времени линий равной плотности).

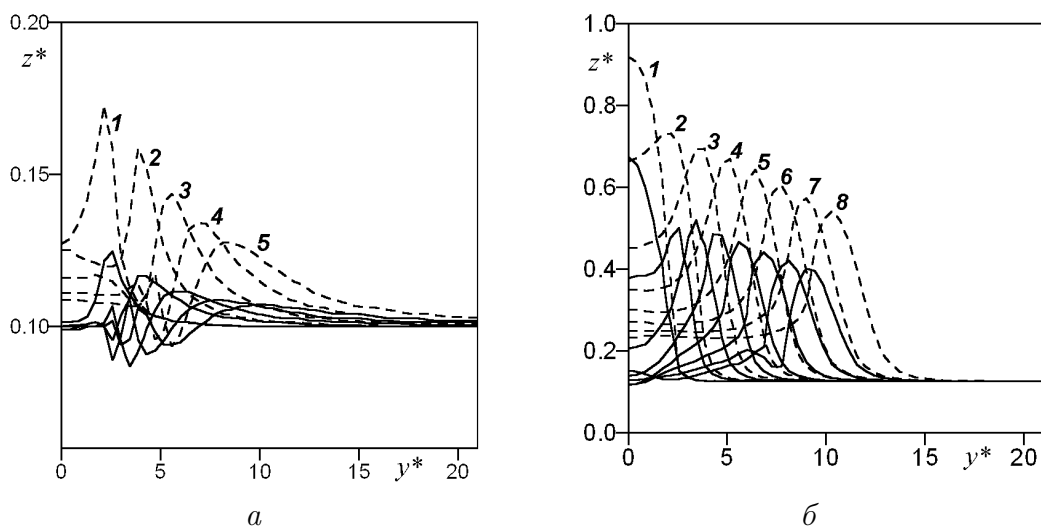


Рис. 9. Динамика линий  $\rho_0 - \langle \rho \rangle = \rho_0 - \rho_s(0.1D)$ : а —  $\rho_s = \rho_0(1 - az)$ ; б —  $\rho_s = \rho_0(1 - a\beta \tanh(z/\beta))$ ,  $\beta = 0.15D$ . Кривые 1 — 8 соответствуют моментам времени  $t/T = 1, 2, 3, 4, 5, 6, 7, 8$ ; сплошные линии — самодвижущееся тело, штриховые — буксируемое тело;  $y^* = y/D$ ,  $z^* = z/D$ .

Объяснение этого факта связано с существенными различиями в эволюции осесимметричных турбулентных следов за буксируемыми и самодвижущимися телами, наблюдаемыми в однородной жидкости. Так, автомоделный след за буксируемым телом характеризуется законами вырождения  $e(x, 0, 0) \sim x^{-4/3}$ ,  $U_d(x, 0, 0) \sim x^{-2/3}$ ,  $l(x) \sim x^{1/3}$  ( $l(x)$  — характерный размер следа). Для автомоделного следа за самодвижущимся телом имеем  $e(x, 0, 0) \sim x^{-1.5}$ ,  $U_d(x, 0, 0) \sim x^{-1.5}$ ,  $l(x) \sim x^{1/4}$ . Такое различие в поведении характеристик следов обусловлено их существенно разной структурой. В следе за буксируемым телом порождение энергии турбулентности за счет градиентов осредненного течения играет важную роль; в безимпульсном следе уже на расстояниях около  $10D$  реализуется практически бессдвиговый режим течения [4, 5]. Поскольку на начальном этапе турбулентный след в стратифицированной среде развивается как в однородной жидкости, то в этом случае турбулентность в следе за буксируемым телом приводит к перемешиванию большей массы жидкости. Воздействие силы тяжести вызывает при этом генерацию внутренних волн большей амплитуды, чем в следе за самодвижущимся телом. Расчеты проводились с использованием двух существенно различающихся численных алгоритмов, основанных на методах расщепления по пространственным переменным, с одной стороны, и методе расщепления по физическим процессам с привлечением “трехмерного” уравнения несжимаемости — с другой, что подтверждает достоверность полученных результатов.

## Заключение

Анализ цитированной литературы показывает, что к настоящему времени разработаны численные модели динамики безимпульсных турбулентных следов и генерируемых ими внутренних волн в устойчиво стратифицированной среде, позволяющие дать удовлетворительное описание анизотропного вырождения турбулентности в дальнем следе. Дальнейшее совершенствование численных моделей, по-видимому, потребует привлечения более детальной экспериментальной информации.

Автор выражает признательность д.ф.-м.н., профессору Г.Г. Черных за полезные обсуждения и предоставленные материалы.

## Список литературы

- [1] VASILIEV O.F., KUZNETSOV B.G., LYTKIN Y.M., CHERNYKH G.G. Development of the turbulized fluid region in stratified medium // Intern. Symp. on Stratified Flows. Paper 4. Novosibirsk. 1972. 14 p.
- [2] ВАСИЛЬЕВ О.Ф., КУЗНЕЦОВ Б.Г., ЛЫТКИН Ю.М., ЧЕРНЫХ Г.Г. Развитие области турбулизованной жидкости в стратифицированной среде // Изв. АН СССР. МЖГ. 1974. № 3. С. 45–52.
- [3] MERRIT C.E. Wake growth in stratified flow // AIAA J. 1974. Vol. 12, N 7. P. 940–949.
- [4] NAUDASCHER E. Flow in the wake of self-propelled bodies and related sources of turbulence // J. Fluid Mech. 1965. Vol. 22, N 4. P. 625–656.
- [5] АЛЕКСЕНКО Н.В., КОСТОМАХА В.А. Экспериментальное исследование осесимметричного безимпульсного турбулентного струйного течения // ПМТФ. 1987. № 1. С. 65–69.

- [6] ВОРОПАЕВА О.Ф., МОШКИН Н.П., ЧЕРНЫХ Г.Г. Внутренние волны, генерируемые турбулентными следами в устойчиво стратифицированной среде // Докл. РАН. 2003. Т. 12. № 10. С. 190–194.
- [7] SCHOOLEY A.H., STEWART R.W. Experiments with a self-propelled body submerged in a fluid with vertical density gradient // J. Fluid Mech. 1963. Vol. 15, Pt 1. P. 83–96.
- [8] LIN J.T., PAO Y.H. Wakes in stratified fluids // Annu. Rev. Fluid Mech. 1979. Vol. 11. P. 317–336.
- [9] HASSID S. Collapse of turbulent wakes in stable stratified media // J. Hydronautics. 1980. Vol. 14, N 1. P. 25–32.
- [10] BROWAND F.K., GUYOMAR D., YOON S.-C. The behavior of a turbulent front in a stratified fluid: experiments with an oscillating grid // J. Geoph. Res. 1987. Vol. 92, N C5. P. 5329–5341.
- [11] VOISIN B. Rayonnement des ondes internes de gravité. Application aux corps en mouvement. Ph. D. Thesis, Univ. Pierre et Marie Curie, 1991.
- [12] ЧАШЕЧКИН Ю.Д. Internal waves, vortices and turbulence in a wake past a bluff body in a continuously stratified liquid // Preprints of the Fourth Intern. Symp. on Stratified Flows, Grenoble Inst. of Mech., June 29–July 2, 1994 / Ed. by E. Hopfinger, B. Voisin and G. Chavand. Grenoble: Grenoble Inst. of Mech. 1994. Vol. 2, sess. B4. N 29. 8 p.
- [13] GILREATH H.E., BRANDT A. Experiments on the generation of internal waves in a stratified fluid // AIAA P. 1983. Vol. 1704. 12 p.
- [14] VOROPAEV S.I., MCEACHERN G.B., FERNANDO H.J.S., BOYER D.L. Large vortex structures behind a maneuvering body in stratified fluids // Phys. Fluids. 1999. Vol. 11, N 6. P. 1682–1684.
- [15] SCHOOLEY A.H. Wake collapse in a stratified fluid // Science. 1967. Vol. 157. P. 421.
- [16] ТРОХАН А.М., ЧАШЕЧКИН Ю.Д. Генерация внутренних волн в стратифицированной жидкости гидродинамически линейным источником (двумерная задача) // Теория дифракции и распространения волн: Краткие тексты докл. VII Всесоюз. симп. по дифракции и распространению волн. Ростов н/Д., 1977. Т. 3. С. 186–189.
- [17] КАО Т.В., ПАО Н.Р. Wake collapse in the thermocline and internal solitary waves // J. Fluid. Mech. 1980. Vol. 97, N 1. P. 115–127.
- [18] ПОПОВ В.А. Развитие области частично перемешанной жидкости в тонкослоистой среде // Изв. АН СССР. ФАО. 1986. Т. 22, № 4. С. 389–394.
- [19] СТЕПАНЯНЦ Ю.А., СТУРОВА И.В., ТЕОДОРОВИЧ Э.В. Линейная теория генерации поверхностных и внутренних волн // Итоги науки и техники. ВИНТИ. Сер. Механика жидкости и газа. 1987. Т. 21. С. 93–179.
- [20] Зудин А.Н. Численное моделирование динамики локального возмущения поля плотности в стратифицированной среде: Дис. ... канд. физ.-мат. наук. Новосибирск, 2001. 115 с.

- [21] WU J. Mixed region collapse with internal waves generation in a density stratified medium // *J. Fluid Mech.* 1969. Vol. 35, N 3. P. 531–544.
- [22] MAXWORTHY T. On the formation of nonlinear internal waves from the gravitational collapse of mixed region in two and three dimensions // *J. Fluid Mech.* 1980. Vol. 96, N 1. P. 47–64.
- [23] МАДЕРИЧ В.С., КУЛИК А.И. Лабораторный эксперимент по растеканию интрузий в слоистой среде // *Изв. АН СССР. ФАО.* 1992. Т. 28. С. 1197–1203.
- [24] ЗУДИН А.Н., ЧЕРНЫХ Г.Г. Примеры расчета нестационарных стратифицированных течений с применением эйлерово-лагранжевой системы координат. Новосибирск, 1985. (Препр. ИТПМ СО АН СССР). 50 с.
- [25] МЕТОДЫ расчета турбулентных течений. М.: Мир, 1984. 463 с.
- [26] RODI W. Examples of calculation methods for flow and mixing in stratified fluids // *J. Geophys. Res.* 1987. Vol. 92, N C5. P. 5305–5328.
- [27] КУРБАЦКИЙ А.Ф. Моделирование нелокального переноса турбулентного импульса и тепла. Новосибирск: Наука. Сиб. отд-ние, 1988. 240 с.
- [28] LAUNDER B.E. Second-moment closure: present and future? Review // *Intern. J. Heat and Fluid Flow.* 1989. Vol. 10, N 4. P. 282–300.
- [29] ОНУФРИЕВ А.Т. Описание турбулентного переноса. Неравновесные модели: Учеб. пособие. М.: МФТИ, 1995. 172 с.
- [30] ILYUSHIN B.B. Higher-moment diffusion in stable stratification. Closure strategies for turbulent and transition flows / Eds B.E. Launder, N.D. Sandham. Cambridge. Univ. Press, 2002. P. 424–448.
- [31] МОНИН А.С., ЯГЛОМ А.М. Статистическая гидромеханика. СПб.: Гидрометеиздат, 1992. Ч. 1.
- [32] LAUNDER B.E. On the effect of a gravitational field on the turbulent transport of heat and momentum // *J. Fluid Mech.* 1975. Vol. 67. P. 569–581.
- [33] DALY B.J., HARLOW F.H. Transport equations of turbulence // *J. Phys. Fluids.* 1970. Vol. 13. P. 2634–2649.
- [34] GIBSON M.M., LAUNDER B.E. Ground effects on pressure fluctuations in the atmospheric boundary layer // *J. Fluid Mech.* 1978. Vol. 86. P. 491–511.
- [35] ЛЕВЕЛЛЕН В. Метод инвариантного моделирования // *Турбулентность: принципы и применения.* М.: Мир, 1980. С. 262–310.
- [36] GIBSON M.M., LAUNDER B.E. On the calculation of the horizontal, turbulent, free shear flows under gravitational influence // *J. Heat Transfer. Trans. ASME.* 1976. N 98C. P. 81–87.



- [37] VASILIEV O.F., KUZNETSOV B.G., LYTKIN Y.M., CHERNYKH G.G. Development of the turbulent mixed region in a stratified medium // Intern. Seminar Turbulent Buoyant Convection. Yugoslavia, Dubrovnic, 1976. P. 123–136.
- [38] Лыткин Ю.М., Черных Г.Г. Подобие течения по плотностному числу Фруда и баланс энергии при эволюции зоны турбулентного смешения в стратифицированной среде // Мат. проблемы механики сплошных сред: Сб. науч. тр. / АН СССР. Сиб. отд-ние. Ин-т гидродинамики, 1980. Вып. 47. С. 70–89.
- [39] LYTKIN Y.M., CHERNYKH G.G., STUROVA I.V. Numerical simulation of internal waves induced by the collapse of turbulent mixed region in stratified medium // Proc. of Intern. Symp. on Refined Modelling of Flows, 7–10 Sept. 1982. Paris, 1982. P. 671–679.
- [40] Черных Г.Г. О применении диффузионной модели к расчету характеристик турбулентности для больших значений времени в задаче об эволюции зоны турбулентного смешения в линейно стратифицированной среде // Числ. методы механики сплошной среды: Сб. науч. тр. / АН СССР. Сиб. отд-ние. ВЦ, ИТПМ. 1986. Т. 17, № 1. С. 130–143.
- [41] Черных Г.Г. Численный анализ применимости некоторых математических моделей к описанию эволюции турбулентных образований в линейно-стратифицированной среде // Числ. методы механики сплошной среды: Сб. науч. тр. / АН СССР. Сиб. отд-ние. ВЦ, ИТПМ. 1987. Т. 18, № 1. С. 134–145.
- [42] CHERNYKH G.G., VILIPPOVA O.F., ZUDIN A.N. Evolution of local density perturbation in stratified medium: results of numerical experiments // Proc. I Soviet Union-Japan Symp. on Computational Fluid Dynamics, Khabarovsk, Sept. 1988. M.: Computer Center of USSR Acad. of Sci., 1989. Vol. 1. P. 128–133.
- [43] Воропаева О.Ф., Черных Г.Г. О численном моделировании динамики областей турбулизованной жидкости в стратифицированной среде // Вычисл. технологии: Сб. науч. тр. / РАН. Сиб. отд-ние. Ин-т вычисл. технологий. 1992. Т. 1, вып. 1. С. 93–104.
- [44] Воропаева О.Ф., Черных Г.Г. Эволюция зоны турбулентного смешения в жидкости с нелинейной стратификацией // Моделирование в механике: Сб. науч. тр. / АН СССР. Сиб. отд-ние. ВЦ, ИТПМ. 1989. Т. 3(20), № 5. С. 3–29.
- [45] Яненко Н.Н. Метод дробных шагов решения многомерных задач математической физики. Новосибирск: Наука. Сиб. отд-ние, 1967. 195 с.
- [46] Скурин Л.И. Квазиодномерная модель эволюции в стратифицированной среде турбулентной области следа за телом // Изв. АН СССР. ФАО. 1986. Т. 22, № 4. С. 373–379.
- [47] Воропаева О.Ф., Чашечкин Ю.Д., Черных Г.Г. Диффузия пассивной примеси от локализованного источника в зоне турбулентного смешения // Вычисл. технологии. 1996. Т. 1, № 1. С. 38–47.
- [48] Воропаева О.Ф., Чашечкин Ю.Д., Черных Г.Г. Диффузия пассивной примеси от мгновенного локализованного источника в зоне турбулентного смешения // Докл. РАН. 1997. Т. 356, № 6. С. 759–762.

- [49] ВОРОПАЕВА О.Ф., ЧЕРНЫХ Г.Г. Распространение пассивной примеси от мгновенного локализованного источника в зоне турбулентного смешения в пикноклине // ПМТФ. 1998. Т. 39, № 4. С. 76–83.
- [50] ЗАЦЕПИН А.Г., ФЕДОРОВ К.Н. Об условиях формирования тонкой структуры в океане путем коллапса перемешанных пятен // Докл. АН СССР. 1980. Т. 252, № 4. С. 989–992.
- [51] ОНУФРИЕВ А.Т. Турбулентный след в стратифицированной среде // ПМТФ. 1970. № 5. С. 68–72.
- [52] LEVELLEN W.S., TESKE M.E., DONALDSON C.D. Examples of variable density flows computed by second-order closure description of turbulence // AIAA J. 1976. Vol. 14. P. 382–387.
- [53] ШЕЦ Дж. Турбулентное течение. Процессы вдува и перемешивания. М.: Мир, 1984. 247 с.
- [54] МОШКИН Н.П., ФЕДОРОВА Н.Н., ЧЕРНЫХ Г.Г. О численном моделировании турбулентных следов // Вычисл. технологии: Сб. науч. тр. / РАН. Сиб. отд-ние. Ин-т вычисл. технологий. 1992. Т. 1, № 1. С. 70–92.
- [55] БЕЛОЦЕРКОВСКИЙ О.М. Численное моделирование в механике сплошных сред. М.: Наука, 1984. 520 с.
- [56] ДАНИЛЕНКО А.Ю., КОСТИН В.И., ТОЛСТЫХ А.И. О неявном алгоритме расчета течений однородной и неоднородной жидкости. М., 1985 (Препр. ВЦ АН СССР) 40 с.
- [57] ДАНИЛЕНКО А.Ю. Численное моделирование некоторых океанологических задач. М., 1988. (Препр. ВЦ АН СССР). 40 с.
- [58] ГЛУШКО Г.С., ГУМИЛЕВСКИЙ А.Г., ПОЛЕЖАЕВ В.И. Эволюция турбулентных следов за шарообразными телами в устойчиво стратифицированных средах // Изв. АН СССР. МЖГ. 1994. № 1. С. 13–22.
- [59] ВОРОПАЕВА О.Ф., ЧЕРНЫХ Г.Г. Численная модель динамики безымпulsive турбулентного следа в пикноклине // ПМТФ. 1997. Т. 38, № 3. С. 69–86.
- [60] ВОРОПАЕВА О.Ф., ЧЕРНЫХ Г.Г. Внутренние волны, генерируемые безымпulsive турбулентным следом в линейно стратифицированной среде // Мат. моделирование. 1998. Т. 10, № 6. С. 75–89.
- [61] CHERNYKH G.G., VOROPAYEVA O.F. Numerical modeling of momentumless turbulent wake dynamics in a linearly stratified medium // Computers and Fluids. 1999. Vol. 28, N 3. P. 281–306.
- [62] ВОРОПАЕВА О.Ф., ИЛЮШИН Б.Б., ЧЕРНЫХ Г.Г. Численное моделирование дальнего безымпulsive турбулентного следа в линейно стратифицированной среде с применением модифицированного уравнения переноса скорости диссипации // Теплофизика и аэромеханика. 2003. Т. 10, № 3. С. 389–400.

- [63] ВОРОПАЕВА О.Ф., ИЛЮШИН Б.Б., ЧЕРНЫХ Г.Г. Анизотропное вырождение турбулентности в дальнем безымпурсном следе в линейно стратифицированной среде // Мат. моделирование. 2003. Т. 15, № 1. С. 101–110.
- [64] ВОРОПАЕВА О.Ф., ИЛЮШИН Б.Б., ЧЕРНЫХ Г.Г. Численное моделирование дальнего безымпурсного турбулентного следа в линейно стратифицированной среде // Докл. РАН. 2002. Т. 386, № 6. С. 756–760.
- [65] ВОРОПАЕВА О.Ф., МОШКИН Н.П., ЧЕРНЫХ Г.Г. Численные модели безымпурсных турбулентных следов в стратифицированной среде // Вычисл. технологии: Сб. науч. тр. / РАН. Сиб. отд-ние. Ин-т вычисл. технологий. 1994. Т. 1, вып. 9. С. 18–30.
- [66] ВОРОПАЕВА О.Ф., МОШКИН Н.П., ЧЕРНЫХ Г.Г. Внутренние волны, генерируемые турбулентными следами за буксируемым и самодвижущимся телами в линейно стратифицированной среде // Мат. моделирование. 2000. Т. 12, № 10. С. 77–94.
- [67] ILYUSHIN B.B., KURBATSKII A.F. Modeling of turbulent transport in PBL with third-order moments // Proc. Intern. Symp. Turbulent Shear Flows, 11. France. Grenoble Inst. of Mech., 1997. P. 20–19; 20–24.
- [68] ИЛЮШИН Б.Б., КУРБАЦКИЙ А.Ф. Новые модели для вычисления моментов третьего порядка в пограничном планетарном слое // Изв. РАН. Физика атмосферы и океана. 1998. Т. 34, № 6. С. 772–781.
- [69] CANUTO V.M., MINOTTI F., RONCHI C., YPMA R.M., ZEMAN O. Second-order closure PBL model with new third-order moments: comparison with LES data // J. Atmos. Sci. 1994. Vol. 51, N 12. P. 1605–1618.
- [70] LAUNDER B.E. Heat and mass transport. Turbulence. Chapter 6. Topics in Applied Physics / Ed. by P. Bradshaw. Vol. 12. B.: Springer Verlag, 1976.
- [71] ВОРОПАЕВА О.Ф., ЗУДИН А.Н., МОШКИН Н.П., ЧЕРНЫХ Г.Г. Внутренние волны, генерируемые турбулентными следами в устойчиво стратифицированной среде // Вычисл. технологии. 2003. Т. 8, спецвыпуск. С. 36–48.
- [72] КОН R.C.A. Transient motion induced by local disturbances in a linearly density-stratified fluid // J. Hydraulic Res. 1971. Vol. 9, N 3. P. 159–175.
- [73] BENJAMIN T.B. Internal waves of permanent form in fluids of great depth // J. Fluid Mech. 1967. Vol. 29, N 3. P. 559–592.

*Поступила в редакцию 24 марта 2004 г.*